

## کنترل نانوربات AFM بر مبنای روش کنترلی مود لغزشی در محیط‌های مختلف بیولوژیکی

محرم حبیب نژاد کورایم<sup>۱\*</sup>، امین حبیب نژاد کورایم<sup>۲</sup>، معین طاهری<sup>۳</sup>، سعید رفیعی نکوو<sup>۳</sup>

۱- استاد، مهندسی مکانیک، دانشگاه علم و صنعت ایران، تهران

۲- دانشجوی کارشناسی ارشد، مهندسی مکانیک، دانشگاه علم و صنعت ایران، تهران

۳- دانشجوی دکترا، مهندسی مکانیک، دانشگاه علم و صنعت ایران، تهران

\*تهران، منطقه پستی ۱۶۸۴۶-۱۳۱۱۴

hkorayem@iust.ac.ir

### چکیده

امروزه جابه‌جایی میکرو/نانوذرات مورد توجه بسیار جهت ساخت ابزارهای مختلف در مقیاس میکرو/نانو و کاربرد در علوم پزشکی و زیستی است. پروب میکروسکوپ نیروی اتمی بسیار رایج برای جابه‌جایی دقیق در مقیاس ابعاد کوچک است. در جن نانومیپولیشن، میکرو/نانوذرات می‌تواند به نقطه‌ی مطلوب نهایی با دقت بسیار بالایی با استفاده از میکروسکوپ نیروی اتمی در مود تماش با کنترل دقیق پروب آن جابه‌جا شوند. در این مقاله با انتخاب مناسب ورودی گشتاور اعمالی به رأس پروب، به کنترل انحراف از مرکز پروب و مشاهده‌ی میزان جابه‌جایی پروب از راستای قائمش پرداخته شده است. تا در هنگام جابه‌جایی، میکرو/نانوذره همواره با پروب در تماس باشد. محیط‌های مایع مختلف (آب، الکل و پلاسمای با میکرو/نانوذرات مختلف اعم از زیستی و غیر زیستی) چهت این مطالمه به کار گرفته شده است.علاوه بر این، با استفاده از کنترل مود لغزشی، پروب میکروسکوپ نیروی اتمی در محیط‌های آب، الکل و پلاسمای استفاده شده است. نتایج بدست آمده نشان می‌دهد که زمان لازم برای کنترل میکرو/نانوذرات مختلف در محیط پلاسمای کمتر از محیط آب است؛ همچنین زمان موردنیاز در محیط آب کمتر از محیط الکل می‌باشد.

### اطلاعات مقاله

مقاله پژوهشی کامل

دریافت: ۰۳ مرداد ۱۳۹۵

پذیرش: ۲۸ شهریور ۱۳۹۵

ارائه در سایت: ۲۴ آبان ۱۳۹۵

کلید واژگان:

کنترل مود لغزشی

نانومیپولیشن

میکروسکوپ نیروی اتمی

محیط‌های مختلف

## Control of AFM nano–robot based on sliding mode control method in different biological environments

Moharam Habibnejad Korayem\*, Amin Habibnejad Korayem, Moein Taheri, Saeed Rafee Nekoo<sup>3</sup>

Department of Mechanical Engineering, Iran University and Science Technology, Tehran, Iran  
\*P.O.B. 16846-13114, Tehran, Iran, hkorayem@iust.ac.ir

### ARTICLE INFORMATION

Original Research Paper

Received 24 July 2016

Accepted 18 September 2016

Available Online 14 November 2016

#### Keywords:

Sliding Mode Control  
Nanomanipulation  
Atomic Force Microscope  
Different Environments

### ABSTRACT

Nowadays, movement of micro/nano particles has been attracted considerable attention to manufacturing different devices in micro/nano scale and medical and biological applications. Atomic Force Microscope Probe is widely being used for precise small scale movements. During nano-manipulation, micro/nano particles can be moved to a desired destination with high accuracy using Atomic Force Microscope while in contact mode with precise probe control. In this article, by selecting a proper amount of torque applied to the probe tip, deviation from the center and movement of probe have been investigated to ensure the contact between the probe and micro/nano particle. Different liquid environments (water, alcohol, and plasma) with different micro/nano particles including biological and non-biological have been used for this investigation. In addition, using sliding mode control, Atomic Force Microscope Probe was used in different environments such as water, alcohol, and plasma. Obtained results showed that the time needed to control different micro/nano particles in plasma was shorter than that of in water; also the time needed in water was shorter than that of in alcohol.

### - مقدمه

از پروب میکروسکوپ نیروی اتمی<sup>۱</sup>، نانوذرات با کشیدن و یا راندن روی سطح، جابه‌جاشده و به نقطه‌ی مطلوب رسانده می‌شوند [۱]. در دهه‌های اخیر، تحقیقات زیادی برای مدل‌سازی دقیق نانومیپولیشن در ساختارهایی با ابعاد میکرو/نانو استفاده شده است. دنیای نانو نانومیپولیشن بر پایه‌ی به کار گیری پروب میکروسکوپ نیروی اتمی به عنوان نانومیپولیشن انجام شده است [۳,۲]. مدل‌سازی اولیه‌ی راندن نانوذرات و نیروهای عکس‌العملی وارد بر ذره توسط فالوو و سوپر فالوو ارائه شده ولی در آن نیروهای چسبندگی سطوح در نظر گرفته نشده است [۴]. سپس سیستم کنترل راندن نانوذرات توسط تفضلی و سیستمی و با استفاده از تئوری تماسی

در سال‌های اخیر از نانومیپولیشن به‌منظور موتور موتوری و جابجا نمودن ساختارهایی با ابعاد میکرو/نانو استفاده شده است. دنیای نانو برای بشر غیرقابل درک است، لذا برای بهبود این درک علمی به نام نانوفتاوری پدید آمده است. نانورباتیک که شاخه‌ای از علم نانوفتاوری است، سعی دارد تا از نظر دینامیکی و کنترلی این محیط را مورد بررسی قرار دهد. در بحث کنترل نانومیپولیشن، حرکت با دقت بالای نانوذره و مقاومت الگوریتم کنترل از جمله مهم‌ترین اهدافی است که مطرح می‌شود. در واقع با اعمال سیستم کنترلی بر مجموعه، سعی بر احقق این دو هدف می‌باشد. با استفاده

<sup>1</sup> Atomic Force Microscope (AFM)

## ۲- کنترل مود لغزشی

سیستم غیرخطی به صورت معادله (۱) در نظر گرفته می‌شود:

$$(1) \quad x^{(n)}(t) = f(x(t)) + b(x(t))u(t)$$

که در آن  $u(t)$  ورودی کنترل  $n$  مرتبه سیستم،  $x(t)$  بردار حالت،  $f(x(t))$  و  $b(x(t))$  توابع اسکالار و غیرخطی سیستم می‌باشند. معادله (۱) نمایشی از سیستم است که در حالت کلی بیان شده است. اکنون با توجه به روش کنترلی مود لغزشی، سطح لغزش به شکل روابط (۳,۲) تعریف می‌شود [۱۴]:

$$(2) \quad s(x(t), t) = \left( \frac{d}{dt} + \lambda \right)^{(n-1)} \tilde{q}(t)$$

$$(3) \quad \tilde{q}(t) = q(t) - q_{\text{des}}(t)$$

که در آن  $\lambda$  یک عدد ثابت اکیداً مثبت می‌باشد،  $n$  مرتبه سیستم،  $\tilde{q}(t)$  خطای حالت و  $q_{\text{des}}$  مقدار مطلوب متغیرهای حالت می‌باشند. اکنون برای بررسی پایداری سیستم با توجه به اینکه سطح لغزش تعریف شده است، از تئوری لیپاونوف استفاده می‌شود و به این منظورتابع لیپاونوف و مشتق آن به صورت روابط (۵,۴) تعریف می‌گردد [۱۴]:

$$(4) \quad V = \frac{1}{2} S_i^2(x(t))$$

$$(5) \quad \dot{V} < 0 \rightarrow \dot{V} = S_i(x(t)) \dot{S}_i(x(t)) \leq -\eta |S_i(x(t))|$$

معادله (۵) شرط لغزش نام دارد و در آن  $\eta$  یک ثابت اکیداً مثبت<sup>۲</sup> است. هدف در کنترل مود لغزشی هدایت حالتها به سمت سطح لغزش و نگه داشتن آنها روی سطح می‌باشد. همچنین بردار خطا تعریف شده در معادله (۳) به صورت معادله (۶) تعمیم می‌یابد:

$$(6) \quad \tilde{x}(t) = [\tilde{x}, \dot{\tilde{x}}, \ddot{\tilde{x}}, \dots, \tilde{x}^{(n-1)}]^T$$

در حالت کلی روابط روش کنترلی مود لغزشی برای سیستم به فرم معادله (۱) نشان داده شد، اما با توجه به سیستم مورد بررسی این تحقیق که به صورت غیرخطی و دارای چند خروجی می‌باشد، ساختار کنترلی و معادله (۲) به شکل برداری و مرتبه دو ادامه می‌یابد.

سیستمی به فرم معادله (۷) در نظر گرفته شده است که در آن

$$\text{بردار } x(t) \text{ به صورت } \begin{bmatrix} q_{n \times 1} \\ \dot{q}_{n \times 1} \end{bmatrix} = \begin{bmatrix} x(t) \\ \dot{x}(t) \end{bmatrix} \text{ در نظر گرفته می‌شود} [۱۵].$$

$$(7) \quad \begin{aligned} \dot{x}(t) &= f(x(t)) + B(x(t))u(t) \\ &= \begin{bmatrix} \dot{q}_{n \times 1} \\ 0 \end{bmatrix} + \begin{bmatrix} B_m(x(t)) \end{bmatrix} u(t) \end{aligned}$$

که همان‌طور که گفته شد به دلیل چند خروجی بودن سیستم تابع  $f$  و  $B$  به فرم ماتریسی ظاهر می‌شوند. با توجه به اینکه بردار خطا در سطح لغزش تعریف شده است، مقدار مطلوب زمانی حاصل می‌شود که سطح لغزش به صفر میل کند. برای سیستم مرتبه دو سطح لغزش به فرم معادله (۸) نشان داده می‌شود:

$$(8) \quad S(x(t)) = \dot{\tilde{x}}(t) + \lambda \tilde{x}(t)$$

که در این شرایط بردار خطا  $\tilde{x}(t) \in R^n$  به صورت رابطه (۹) نمایش داده می‌شود:

$$(9) \quad \tilde{x}(t) = [x - x_{\text{des}}]^T ; \quad \dot{\tilde{x}}(t) = [\dot{x} - \dot{x}_{\text{des}}]^T$$

برای بررسی پایداری سیستم طبق معادله (۵) از تئوری لیپاونوف استفاده می‌شود و به منظور برقراری شرط لغزش، مقدار ورودی کنترلی از حل معادله

$$(10) \quad \begin{aligned} \dot{S}(x(t)) &= \ddot{\tilde{x}}(t) + \lambda \dot{\tilde{x}}(t) = \hat{f}_m(x(t)) + \hat{B}_m(x(t)) \hat{u}(t) \\ &\quad - \ddot{x}_{\text{des}}(t) + \lambda \dot{\tilde{x}}(t) = 0 \end{aligned}$$

جی کا آر<sup>۱</sup> برای در نظر گرفتن چسبندگی سطوح ارائه شده که هدف آن کنترل جایه‌جایی ذره به صورت نیمه‌خودکار بوده است [۵]. ژو و همکارانش تحلیل گشتاور نیروهای وارد بر جسم میکروکروی را جهت تسريع در منیپولیشن به کار برده‌اند [۶].

رفلی و همکارانش یک مدل نانومنیپولیشن متشکل از کوپل دینامیکی خیز میکروتیرک و کشش عملگر پیزوتیوب میکروسکوپ نیروی اتمی معرفی کرده‌اند [۷]. کورایم و همکارانش به بررسی تأثیر پارامترهای هندسی میکروتیرک میکروسکوپ نیروی اتمی بر نیرو و زمان بحرانی منیپولیشن با استفاده از روش‌های تماسی الاستیک-پلاستیک جهت نانوباکتری‌های نرم کروی شکل به منظور کاربرد در منیپولیشن میکرو/نانوذرات زیستی مختلف بر پایه‌ی میکروسکوپ نیروی اتمی پرداخته‌اند [۹].

اباتیا و همکارانش، با استفاده از میکروسکوپ نیروی اتمی و تغییری که در ساختمان پروب آن دادند، دستگاهی را به منظور انجام جراحی‌های در بعد نانو بر روی سلول‌های زنده طراحی کرده و ساخته‌اند. در این دستگاه که به نوعی به منظور منیپولیشن سلولی به کار می‌رود نانوبروبی بسیار ظریف بر روی سوزن میکروسکوپ نیروی اتمی قرار داده و از این سوزن بسیار دقیق در بعد نانو بر روی سلول‌های زنده استفاده نموده‌اند [۱۰].

کورایم و طاهری به بررسی نیروهای مختلف موجود در محیط‌های بیولوژیکی و توسعه‌ی مدل‌های مختلف تماسی الاستیک جهت منیپولیشن میکرو/نانوذرات مختلف پرداخته‌اند [۱۱]. آن‌ها همچنین به بررسی آنالیز حساسیت مدل‌های اصطکاکی مختلف پرداخته و تأثیر آن بر نیرو و زمان بحرانی منیپولیشن را مطالعه نموده‌اند [۱۲]. در این تحقیقات چگونگی کنترل پروب میکروسکوپ نیروی اتمی جهت جایه‌جایی دقیق میکرو/نانوذرات هدف مورد توجه قرار نگرفته است. علاوه بر این در همین راستا کورایم و همکارانش به بررسی نیروی لازم جهت وقوع نانو منیپولیشن پرداختند [۱۳]. در این تحقیق حداقل نیروی موردنیاز جهت جایه‌جایی نانو ذرات مختلف حساب شده است.

با توجه به بررسی کارهای گذشته، این موضوع نتیجه می‌شود که در تحقیقات انجام شده، بررسی نیرو و زمان بحرانی برای نانوذرات مختلف در محیط‌های زیستی و کنترل آن انجام نشده است، لذا در این مقاله به کنترل پروب با استفاده از کنترل کننده مود لغزشی پرداخته شده است. پارامترهایی از پروب که در این مقاله کنترل شده‌اند، انحراف پروب از راستای قائمش و میزان جایه‌جایی پروب در راستای حرکت نانوذره می‌باشند. این فرایند کنترلی در محیط‌های آب، الکل و پلاسمای برای نانوذرات طلا، مخمر و پلاکت انجام شده و پیشرفتی در جهت تمام‌خودکار کردن عملیات نانومنیپولیشن کرده است.

در بخش ۲، مدل کنترلی مود لغزشی توضیح داده خواهد شد و سپس در بخش ۳ به مدل‌سازی روابط کنترلی برای کنترل پروب پرداخته می‌شود که در این بخش روابط دینامیکی بدست‌آمده به فرم معادلات کنترل مود لغزشی تبدیل می‌شود. بخش ۴ به اعمال کنترل کننده برای پروب نانو ربات می‌پردازد. بخش ۵ مباحث مربوط به محیط مایع و بخش ۶ به شبیه‌سازی پردازد. در نهایت نتیجه‌گیری در بخش هفتم بیان خواهد گردید.

<sup>2</sup> Strictly positive constant

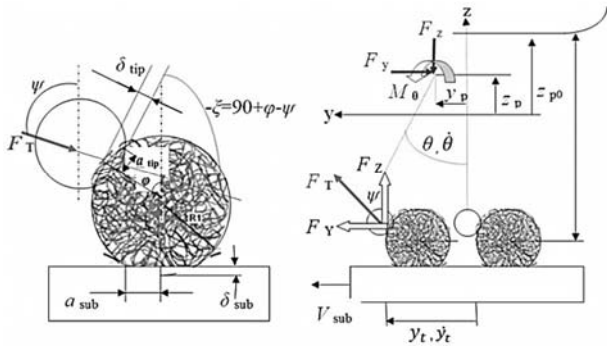


Fig. 1 The displacement and forces resulting from contact between Nan-particle and probe [16]

شکل ۱ میزان جابه‌جایی و نیروهای ناشی از تماس پرپون با نانو ذره [16]

گونه‌ای باشد که تحت تأثیر ورودی و خروجی قرار گیرد، یعنی متغیرهای فضایی حالت بر خروجی تأثیرگذار و از ورودی تأثیرپذیر باشند. بر اساس روابط مربوط به میکروسکوپ نیروی اتمی که در [17] آورده شده است، این تأثیرپذیری قابل مشاهده می‌باشد. متغیرهای حالت به منظور کنترل عملیات نانومنیپولیشن بهصورت معادله (16) تعریف می‌شوند.

$$x(t) = [\theta(t), y_c(t), y_p(t), z_t(t), \dot{\theta}(t), \dot{y}_c(t), \dot{y}_p(t), \dot{z}_t(t)]^T \quad (16)$$

که در آن  $\theta$  زاویه انحراف پرپون و همچنین اندیس  $c$  مربوط به نقطه اتصال کنتریلور و پرپون و اندیس  $t$  مربوط به نقطه تماس نوک پرپون به نانو ذره می‌باشد. با توجه به چیدمان متغیرهای حالت، معادله فضایی حالت به فرم معادله (17) می‌باشد.

$$\dot{x}(t) = f(x(t)) + B(x(t))u(t) \quad (17)$$

که در آن می‌توان روابط (19,18) را نوشت:

$$f(x(t)) = [\dot{\theta}(t), \dot{y}_c(t), \dot{y}_p(t), \dot{z}_t(t), f_5(t), f_6(t), f_7(t), f_8(t)]^T \quad (18)$$

$$B(x(t)) = [0_{1 \times 4}, g_1(t), g_2(t), 0, g_3(t)]^T \quad (19)$$

هستند و همچنین درایه‌های بردارهای  $B(x(t))$  و  $f(x(t))$  به شرح معادلات (20) تا (26) می‌باشند. این روابط بر اساس روابط دینامیک میکروسکوپ نیروی اتمی آورده شده در مرجع [17] می‌باشد.

$$f_5(t) = \frac{1}{I_c} (F_{tp} \cos \psi H \sin y_1 + F_{tp} \sin \psi H \cos y_1 - K_0 y_1) \quad (20)$$

$$f_6(t) = \frac{1}{M} (-F_{tp} \sin \psi - K_y y_2) + \frac{H}{2I_c} (F_{tp} \cos \psi H \sin y_1 + F_{tp} \sin \psi H \cos y_1 - K_0 y_1) \cos y_1 + \frac{H}{2} y_5^2 \sin y_1 \quad (21)$$

$$f_7(t) = \frac{1}{M_p} (F_{tp} \sin \psi - \text{sign}(y_7) F_{frict}) \quad (22)$$

$$f_8(t) = \frac{1}{m_t} (-F_{tp} \cos \psi - K_z (y_4 - H \cos y_1)) + \frac{H^2}{2I_c} \sin x_1(t) [F_{tp} \cos \psi H \sin y_1 + F_{tp} \sin \psi H \cos y_1 - K_0 y_1] - \frac{H}{2} x_5^2 \cos y_1 \quad (23)$$

$$g_1(t) = \frac{1}{I_c} \quad (24)$$

$$g_2(t) = \frac{H}{I_c} \cos x_1(t) \quad (25)$$

$$\hat{u}(t) = \hat{B}_m^{-1}(x(t)) [-\hat{f}_m(x(t)) + \ddot{x}_{des}(t) - \lambda \ddot{x}(t)] \quad (11)$$

مقادیر  $(\hat{f}_m(x(t))$  و  $\hat{B}_m^{-1}(x(t))$ ) مقادیر تخمین زده شده از  $(B_m(x(t))$  و  $f_m(x(t))$ ) می‌باشند و از آنجاکه کنترل کننده مود لغزشی در برابر عدم قطعیت‌ها مقاوم است و همچنین از آنجایی که از مقدار دقیق مقادیر ثابت سیستم اطلاعاتی وجود ندارد، برای این مقادیر با احتساب یک محدوده تغییر به فرم معادله (12)، عدم قطعیت‌ها در سیستم اعمال می‌شوند [15]:

$$|\hat{f}_m(x(t)) - f_m(x(t))| \leq F_b(x(t)) \quad (12)$$

$$0 < B_{min,ij} \leq B_{max,ij} ; \hat{B}_{m,ij} = (B_{min,ij} B_{max,ij})^{\frac{1}{2}} \quad (13)$$

که در آن  $F_b(x(t))$  و  $B_{max,ij}$  حداقل باند خطای تقریب می‌باشد. برای این که شرط لغزش (اگر عدم قطعیت در دینامیک‌های موجود در  $(B_m(x(t))$  و  $f_m(x(t))$ ) برقرار باشد و بتوان روی سطح لغزش باقی ماند، یک جمله کنترلی اصلاحی به  $\hat{u}(t)$  بهصورت معادله (14) اضافه می‌شود:

$$u_{corr}(t) = \hat{B}_m^{-1}(x(t)) [-K \text{sign}(S(x(t)))] \quad (14)$$

که در آن  $K$  یک ماتریس ثابت اکیداً مثبت می‌باشد و در نهایت مقدار ورودی کنترلی بهصورت معادله (15) تعیین می‌شود:

$$u(t) = \hat{u}(t) + u_{corr}(t) \quad (15)$$

که در آن  $u_{corr}$  سیگنال اصلاحی کنترلی می‌باشد که از تعریفات اصلی روش مود لغزشی می‌باشد که به منظور مقابله با عدم قطعیت اضافه می‌گردد. با اعمال معادله (15) بر روی سیستم بهعنوان ورودی کنترل سیستم محقق خواهد شد.

### 3- مدل‌سازی و طراحی کنترل کننده مود لغزشی جهت کنترل

#### پرپون نانوربات AFM

در این بخش با توجه به اینکه سیستم کنترلی مود لغزشی در بخش قبل توضیح داده شد، به طراحی کنترل کننده مود لغزشی جهت کنترل پرپون میکروسکوپ نیروی اتمی پرداخته شده است. از کارهای انجام شده مرتبط با این موضوع می‌توان به کار ارجمند و همکارانش اشاره کرد [16]. آن‌ها به کنترل میکروسکوپ نیروی اتمی با استفاده از ایجاد پسخورد تأخیری با استفاده از روش مود لغزشی جهت ممانتع از ایجاد سیکل‌های حدی پرداختند. این کنترل شامل کنترل جابه‌جایی پرپون و میزان انحراف پرپون از راستای قائمش است. برای این کنترل از کنترل گر مود لغزشی استفاده می‌گردد، چراکه این کنترل گر در برای عدم قطعیت‌ها و در برای نوسانات پاسخ مورد قبولی را از خود حاصل می‌کند. در این فرایند کنترل سیستم دارای معادلات دینامیکی کوپله شده است و می‌توان از معادلات دینامیکی حاکم بر سیستم، برای کنترل پرپون میکروسکوپ نیروی اتمی استفاده کرد. در این فرایند کنترلی ورودی سیستم، گشتاور اعمال شده به انتهای تیرک است (از نیرو در جهت  $x$  به این دلیل استفاده نمی‌گردد که در فرایند نانومنیپولیشن این نیرو تقریباً ثابت است) و خروجی این سیستم نیز میزان انحراف پرپون از راستای قائمش و میزان جابه‌جایی پرپون است.

شکل ۱ نمای کلی سینماتیک و دینامیک نانومنیپولیشن و همچنین نحوه تغییر شکل‌ها و فرورفتگی‌ها مابین سطح، نانو ذره و پرپون نشان داده شده است. همچنین در این شکل زوایای تماسی، جهت نیروها و میزان جابه‌جایی‌ها از نمای جلوایی میکروسکوپ نیروی اتمی نشان داده شده است. معادلات حالت بر اساس معادلات دینامیکی حرکت پرپون میکروسکوپ نیروی اتمی حاصل می‌شوند، که این معادلات دینامیکی سیستم نیز با استفاده از معادلات نیوتون-اویلر حاصل گشت‌هایند [17]. انتخاب متغیرهای حالت باید به

چسبندگی و کار چسبندگی بین سطح 2 و 3 می‌باشد.

چهارمین مشخصه از تأثیر محیط بر فرایند کنترلی نانومنیپولیشن مربوط به نیروهای درگ و موئینگی واردہ بر تیرک است، که این نیروها به صورت جایه‌جایی در معادلات ظاهر می‌شوند. به عبارت دیگر این نیروها باعث انحراف تیرک می‌شوند که این میزان جایه‌جایی وارد معادلات می‌شود. این نیروها در مرجع [16] به دست آمداند.

## 5- شبیه‌سازی کنترل گر مود لغزشی باهدف کنترل زاویه و جایه‌جایی پروب

با استفاده از معادله (11) اقدام به شبیه‌سازی می‌شود. به این صورت که با توجه به الگوریتم کنترلی شکل 2 با در نظر گرفتن متغیرهای حالت سیستم و در نظر گرفتن گشتاور اعمالی به ابتدای پروب به عنوان ورودی کنترلی که با نماد  $\alpha$  در الگوریتم نشان داده شده است، به کنترل پارامتر ذکر شده با اعمال ورودی کنترلی محاسبه شده پرداخته می‌شود. در این شبیه‌سازی از یکتابع لیاپانوف استفاده شده است تا معیاری برای پایداری سیستم موردنظر باشد. همان‌طور که مشخص است، در فرایند نانومنیپولیشن پروب میکروسکوپ باید ثابت بماند تا میزان جایه‌جایی مدنظر به طور دقیق انجام شود، زیرا اگر برای مثال پروب از راستای قائم‌ش منحرف شود، منظور از انحراف از راستای قائم پروب خم شدن و جایه‌جایی پروب نسبت به کانتیلویر می‌باشد که این خم‌شده‌گی برایر خاصیت الاستیکی بودن پروب به وجود می‌آید، دیگر آن نیروی مدنظر را به نانوذره وارد نمی‌کند این موضوع را می‌توان با توجه به تأثیر زاویه تماس بر روی نیروی اعمالی به نانوذره متوجه شد چراکه زاویه تماس به صورت صریح در رابطه نیرو آمده است و در نتیجه نانوذره به صورت صحیح جایه‌جا نمی‌شود. همچنین باید خاطرنشان کرد که این مشکل از دو طریق کنترل جایه‌جایی پروب و اعمال تمهدیاتی در فرایند نانو منیپولیشن نظیر انتخاب پروب مناسب قابل حل می‌باشد که در این مقاله از راه اول استفاده شده است. در فرایند کنترلی صورت گرفته ضرایب کنترلی در جدول 1 آورده شده‌اند.

برای معادله (24) به مقادیر ثابت  $\epsilon$  نیاز است. این مقادیر برای محیط‌های مختلف در جدول 2 ذکر شده است.

بعد از اعمال معادلات کنترلی که در الگوریتم برنامه نشان داده شده، با نشان دادن خروجی‌های برنامه به صورت نمودار، صحت معادلات مشخص می‌شوند. برای حذف پدیده وزوز در سیگنال کنترلی از تابع اشباع استفاده می‌شود که فرم کلی آن به صورت معادلات (31) و (32) می‌باشد:

$$U = U_{eq} + K_{sat} \begin{pmatrix} S \\ \phi \end{pmatrix} \quad (31)$$

$$U = \frac{1}{G(y)} \left( -K_{sat} \begin{pmatrix} S \\ \phi \end{pmatrix} - F(y) - \lambda \right) \quad (32)$$

که در آن  $K$  و  $\phi$  پارامترهای ثابت هستند ( $< 0$ ) و  $\phi$  لایه‌ی مرزی نازک در همسایگی صفحه‌ی  $S$  (سطح لغزش) تعریف می‌شود. همچنین  $F(y)$  و  $G(y)$  تعریف سیستم در فضای حالت می‌باشند که در بخش 2 توضیح داده شد. به وسیله تابع لیاپانوف  $V = 1/2S^2 + 1/2\phi^2$  می‌توان مطمئن شد که  $0 < \epsilon_1, \epsilon_2$  است، در نتیجه:

$$\dot{V} = S\dot{S} = -\eta_{sat}(S)S = -\eta|S| \quad (33)$$

مقدار  $\eta$  یک عدد مثبت در نظر گرفته می‌شود تا  $\dot{V}$  همواره منفی شود. ضرایب کنترلی در نظر گرفته شده در این مقاله برای حذف پدیده وزوز در جدول 3 ذکر شده است.

$$g_3(t) = \frac{H^2}{2I_c} \sin x_1(t) \quad (26)$$

که در آن  $F_{tp}$  برایند نیروهای واردہ از طرف نوک پروب به نانوذره می‌باشد. همچنین  $H$  طول پروب و  $K_\theta$  ضریب فنریت پیچشی می‌باشد. تا به اینجا با توجه به اینکه روابط کنترلی کننده مود لغزشی در بخش 2 توضیح داده شده و با دانستن اینکه مقادیر  $(\hat{B}_m(x(t), \hat{f}_m(x(t)))$  در سیستم مورد نظر به صورت دو ماتریس:

$$\hat{f}_m(x(t)) = [f_5(t), f_6(t), f_7(t), f_8(t)]^T$$

$$\hat{B}_m(x(t)) = [g_1(t), g_2(t), 0, g_3(t)]^T$$

در نظر گرفته می‌شوند، می‌توان روابط کنترلی را به فرمی که در بخش 2 آورده شده است، پیاده‌سازی کرد.

## 4- طراحی کنترل کننده مود لغزشی جهت کنترل پروب

### فناوریات AFM در محیط مایع

در این بخش با استفاده از معادلات کنترلی فرایند نانومنیپولیشن در محیط هوا، به توسعه‌ی فرایند کنترل نانومنیپولیشن پرداخته و این فرایند، برای محیط‌های زیستی انجام می‌گردد. تأثیر خواص محیط بر فرایند نانومنیپولیشن در چهار پارامتر اساسی خلاصه می‌شود که عبارت‌اند از نیروی واندروالسی واردہ بر انتهای تیرک، نیروی درگ و نیروی موئینگی واردہ بر تیرک، تأثیر در نیروی چسبندگی و اثرگذاری در تئوری‌های تماسی بین نانوذره/تیرک، نانوذره/سطح زیرین.

همانند بخش قبل برای کنترل فرایند نانومنیپولیشن از کنترل گر مود لغزشی استفاده می‌شود و درواقع معادلات کنترلی تغییر جزئی می‌کند که این تغییرات به شرح زیر است:

اولین اثر در نیروی اعمالی به نوک پروب که بر اساس نیروی واندروالسی است به وقوع می‌پوندد؛ چراکه نیروی واندروالسی به محیط اطرافش وابسته است. نیروی اعمالی به انتهای پروب به صورت رابطه (27) است [18]:

$$F_{tp}(h(t)) = \begin{cases} -\frac{H^2}{6h(t)^2} & a_0 < h(t) \leq 100\text{nm} \\ -\frac{H_{tp}\tilde{R}}{6a_0^2} + \frac{4}{3}K\sqrt{\tilde{R}}(a_0 - h(t))^{\frac{3}{2}} & h(t) < a_0 \end{cases} \quad (27)$$

که تأثیر محیط بر پارامتر  $H_{tp}$  است و به فرم معادله (28) در می‌آید [18]:

$$H_{tp} = \frac{3}{4}kt \left( \frac{\epsilon_1 - \epsilon_3}{\epsilon_1 + \epsilon_3} \right) \left( \frac{\epsilon_2 - \epsilon_3}{\epsilon_2 + \epsilon_3} \right) + \frac{3hVe(n_1^2 - n_3^2)(n_2^2 - n_3^2)}{8\sqrt{2}\sqrt{(n_1^2 + n_3^2)(n_2^2 + n_3^2)}[\sqrt{n_1^2 + n_3^2} + \sqrt{n_2^2 + n_3^2}]} \quad (28)$$

که در آن  $\epsilon$  ثابت دی‌الکتریک،  $n$  شاخص انکسار محیط،  $Ve$  فرکانس اصلی جذب الکترونی در ناحیه‌ی فرابخش می‌باشد. در معادله (28) از جمله دوم این معادله به دلیل تأثیر کم آن در مقدار  $H_{tp}$  از آن جمله صرف نظر شده است.

دومین حالت از تأثیر محیط بر فرایند کنترلی نانومنیپولیشن در بحث تئوری تماسی است. سومین حالت از تأثیر محیط بر فرایند کنترلی نانومنیپولیشن در قسمت نیروهای چسبندگی است که معادلات آن به صورت معادلات (29) و (30) می‌باشند:

$$\gamma_{12} = \gamma_1 + \gamma_2 - 2\sqrt{\gamma_1\gamma_2} \quad (29)$$

$$\gamma_{123} = \omega_{12} + \omega_{33} - \omega_{13} + \omega_{23} = \gamma_{13} + \gamma_{23} + \gamma_{12} \quad (30)$$

که در آن  $\gamma_1$  نیروی چسبندگی سطح 1 می‌باشد. همچنین  $\gamma_{12}$  و  $\gamma_{123}$  و  $\omega_{12}$  و  $\omega_{23}$  به ترتیب ترتیب چسبندگی و کار چسبندگی بین سطح 1 و 2 و 2 و 3 و  $\gamma_{23}$  به ترتیب

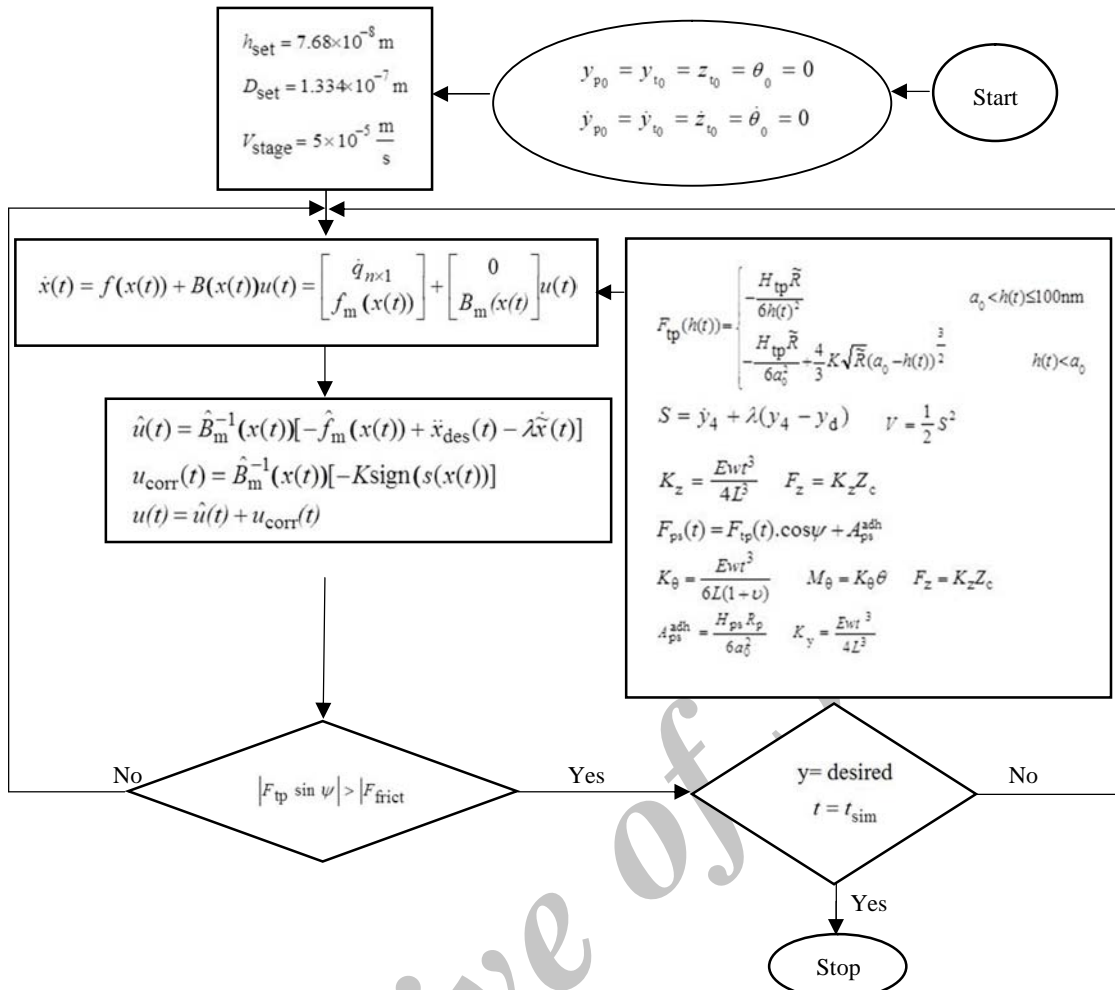


Fig. 2 Control algorithm into the air environment

شکل 2 الگوریتم کنترلی در محیط هوا

همان‌طور که در شکل 3 نشان داده شده، متغیرهای حالت سیستم در کمتر از 0.1 ثانیه به مقدار مطلوب از پیش تعیین شده رسیده و با توجه به استفاده از توابع جدید از پدیده‌ی وزوز هم جلوگیری شده است. در ادامه‌ی این بحث، با تغییر نانوذرات از طلا به نانوذرات مخمر و پلاکت فرایند کنترلی برای این نانوذرات در محیط هوا بررسی می‌گردد.

با توجه به شکل 4 می‌توان این نتیجه را گرفت که متغیرهای حالت سیستم به خوبی به مقدار مطلوب از پیش تعیین شده (رادیان) رسیدند. آخرین نانوذراتی که در این بخش مورد بررسی قرار گرفته‌اند، نانوذرات پلاکت می‌باشند که نتایج این شبیه‌سازی در شکل 5 آمده است.

با مقایسه‌ی بین شکل‌های 3 الی 5 می‌توان مشاهده کرد که روند تغییرات زمان مورد نیاز جهت رسیدن به مقدار مطلوب زاویه و جابه‌جایی پروب، با میزان تغییر چسبندگی بین نانوذره و سطح مینا رابطه‌ی مستقیم دارد. در واقع هرچه چسبندگی نانوذره به سطح زیرین کمتر باشد، زمان بیشتری لازم است تا پروب میکروسکوپ نیروی اتمی به مقدار مطلوبش برسد. این نتیجه با استفاده از اعداد درج شده در روی نمودار قابل استنباط بوده است، زیرا هرچه چسبندگی کمتر باشد، هرچند که روند تغییرات زاویه پروب کمتر می‌شود، اما ثابت نگه داشتن زاویه‌ی پروب کار مشکلی می‌شود که این امر مستلزم زمان بیشتر برای کنترل زاویه‌ی پروب می‌باشد.

جدول 1 مقادیر پارامترهای کنترل کننده

Table 1 control coefficients

پارامتر	$\phi$	$\lambda_3$	$\lambda_2$	$\lambda_1$	مقدار عددی پارامتر
	$10^{-5}$	$9^6$	$10^{-1}$	$10^6$	

جدول 2 مشخصات ثابت محیط‌های مختلف [19]

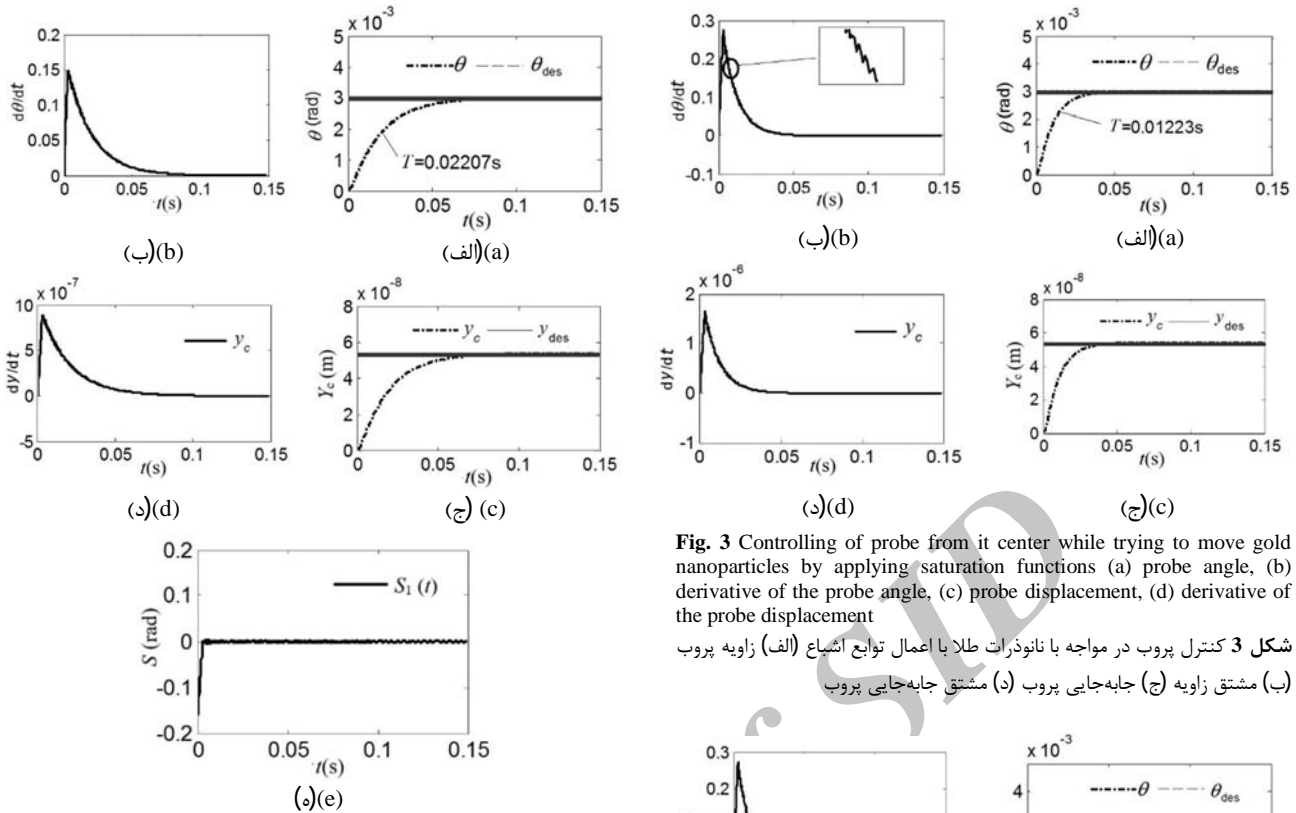
Table 2 Constants Specifications of different environments [19]

سیال	چگالی ویسکوزیته انرژی سطحی	مؤلفه قطبی مؤلفه غیرقطبی	ثابت
آب			
متانول	80.1	0.0218	0.0728
	32.7	0.0182	0.0225
اتانول	24.5	0.0188	0.0224
پلاسما	76.1	0.011	1.084
		0.039	1.025

جدول 3 مقادیر پارامترهای کنترل کننده با تابع اشباع

Table 3 Control coefficients for saturation function

پارامتر	$K$	$\phi$	$\lambda$	مقدار عددی پارامتر
	$5^{-8}$	$10^{-5}$	$10^5$	

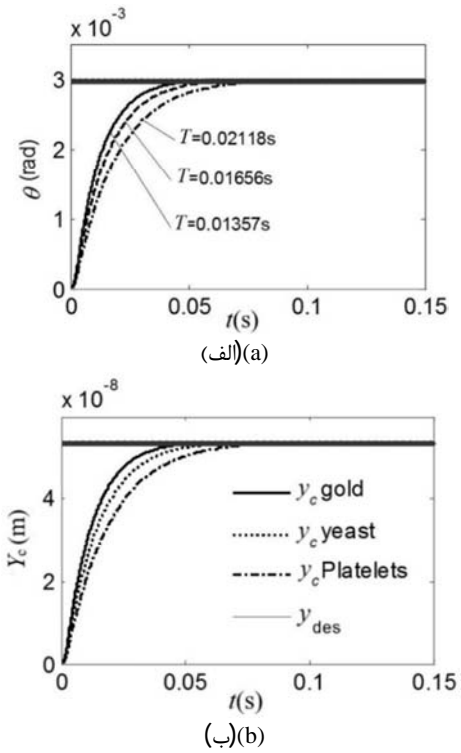


**Fig. 5** کنترل پروب در مواجه با نانوذرات پلاکت در محیط آب (الف) زاویه پروب (ب) مشتق زاویه (ج) جابه‌جایی پروب (د) مشتق جابه‌جایی پروب (ه) سطح لغزش

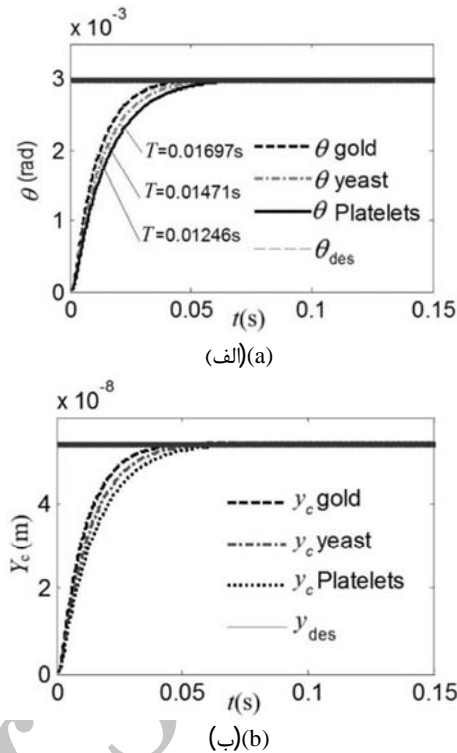
صحبت شد، به بررسی کنترل نانوذرات ذکر شده در سه محیط آب، الکل و پلاسمای پرداخته می‌شود. فرایند کنترلی در این بخش، الگوریتمی مانند الگوریتم کنترلی محیط هوا دارد، با این تفاوت که تغییراتی در الگوریتم اعمال شده است. تفاوتی که در تغییر محیط ایجاد می‌شود، این است که در قسمت سینماتیک پروب، جابه‌جایی ناشی از نیروی درگ و نیروی کشش سطحی نیز وارد شده و همچنین در بحث تئوری تماسی نیز دچار تغییر شده و نیروهای درگ و کشش سطحی وارد شده و در نهایت آخرین تغییر اعمالی در مقدار چسبندگی بین نانوذره و سطح زیرین می‌باشد که با اعمال این تغییرات در محیط هوا می‌توان فرایند کنترلی را برای پروب میکروسکوپ نیروی اتمی در محیط‌های زیستی مختلف پیاده‌سازی کرد.

فرایند کنترلی برای نانوذرات طلا، مخمر و پلاکت در محیط آب انجام شده است که در شکل 6 نشان داده شده است. از شکل 6 می‌توان نتیجه گرفت که برای نانوذرات مختلف با توجه به مقدار چسبندگی شان به سطح و با توجه به خواص محیطی شان در زمان کنترل شدن تغییر ایجاد می‌شود، زیرا میزان نیروی اعمالی به پروب تغییر کرده و این تغییر سبب این می‌شود، که در زمان رسیدن به مقدار موردنظر برای انحراف از مرکز و میزان جابه‌جایی پروب وقفه بیفتد. در ادامه این فرایند کنترلی را برای محیط الکل و بعد از آن برای محیط پلاسمای گردد.

با بررسی شکل 7 نتیجه می‌شود که با تغییر محیط از محیط آب به الکل تغییرات در عملیات کنترلی جزئی بوده اما تغییراتی که صورت گرفته است، با نتایجی که با مقایسه شکل‌های 6 تا 8 حاصل می‌شود مطابقت دارد. به این

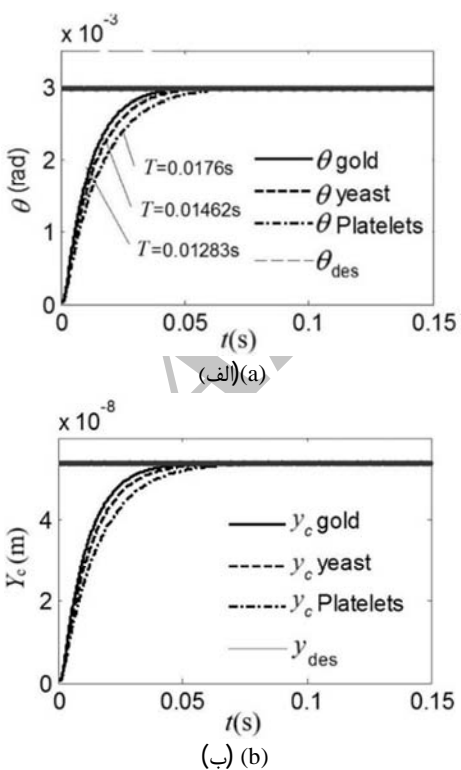


**Fig. 7** کنترل پروب برای نانوذرات طلا، مخمر و پلاکت در محیط الکل (الف) کنترل زاویه پروب (ب) کنترل جابه‌جایی پروب



**Fig. 6** کنترل کنترل پروب برای نانوذرات طلا، مخمر و پلاکت در محیط آب (الف) کنترل زاویه پروب (ب) کنترل جابه‌جایی پروب

شکل 7 کنترل کنترل پروب برای نانوذرات طلا، مخمر و پلاکت در محیط الکل (الف) کنترل زاویه پروب (ب) کنترل جابه‌جایی پروب



**Fig. 8** کنترل کنترل پروب برای نانوذرات طلا، مخمر و پلاکت در محیط پلاسمای (الف) کنترل زاویه پروب (ب) کنترل جابه‌جایی پروب

صورت که پس از مقایسه‌ی سه شکل مذکور این نتیجه حاصل می‌شود که زمان مورد نیاز برای حرکت هر سه نانوذره افزایش یافته است. این مهم را در شکل 7 نیز می‌توان یافت به این صورت که منحنی‌های مربوط به نانوذره کمی کشیده‌تر شده‌اند. این گواه از این امر دارد که نتایج حاصله در این قسمت با نتایج حاصل در قسمت دینامیکی منیپولیشن مطابقت دارد.

همان‌طور که در شکل 8 مشخص است برای نانوذرات طلا، مخمر و پلاکت در محیط پلاسما در زمان رسیدن به انحراف از مرکز پروب به میزان 0.002 رادیان اختلاف وجود دارد. این اختلاف نشان می‌دهد که نانوذرات طلا 0.00173 ثانیه زودتر از نانوذرات مخمر و نانوذرات مخمر 0.00298 ثانیه زودتر از نانوذرات پلاکت کنترل می‌شوند. این میزان اختلاف به دلیل ماهیت نانوذرات است که در میزان اصطکاک و میزان چسبندگی با یکدیگر متفاوت‌اند و از آنجاکه این پارامترها یعنی میزان چسبندگی و نیروی اصطکاک در معادلات منیپولیشن وارد می‌شوند، لذا این اختلافات قبل توجیه است. با توجه به شکل‌های 6 الی 8 این نتیجه حاصل می‌شود که چسبندگی نانوذرات طلا و پلاکت در محیط الکل بیشتر از محیط پلاسما و چسبندگی در محیط پلاسما نیز بیشتر از چسبندگی در محیط آب می‌باشد. اما برای نانوذرات مخمر چسبندگی در محیط هوا بیشتر از چسبندگی در محیط پلاسما است.

## 7- نتیجه‌گیری

در این مقاله به منظور دست‌یابی به هدف اصلی در بحث کنترلی یعنی کمک به خودکار نمودن و اجرای دقیق فرآیند نانومنیپولیشن یک نانوذره، در مقیاس نانو، اقدام به طراحی کنترلی برای کنترل میزان انحراف پروب از راستای قائمش گردید، تا با استفاده از آن از رد شدن نانوذره از زیر پروب در

سختی عمودی تیرک	$K_z$
سختی پیچشی تیرک	$K_\phi$
طول تیرک	$L$
طول قسمتی از تیرک که در مایع فرورفت	$L_1$
جرم تیرک	$M$
جرم تیپ انتهای پروب	$M_t$
جرم نانو ذره	$M_p$
گشتاور پیچشی تیرک	$M_\theta$
جرم پروب	$m$
تعداد تغییرهای فضای حالت / شاخص انکسار محیط	$n$
شعاع نانوذره	$R_p$
سطح لغزش	$S$
گشتاور پیچشی	$T$
ضخامت تیرک	$t$
فرکانس اصلی جذب الکترونی در ناحیه فرابنفس	$Ve$
سرعت پایه سطح	$V_{sub}$
پهنه‌ای تیرک مستطیلی	$W$
موقعیت انتهایی پروب	$y_c$
مقادیر مدنظر مطلوب	$y_d$
مختصات نقطه انتهایی (در تماس با ذره) پروب در محور y	$y_p$
موقعیت سطح مبنا در راستای محور y	$y_{sub}$
میزان جابه‌جایی سطح مبنا در راستای y	$y_{st}$
مختصات نقطه ابتدایی (متصل به تیرک) پروب در محور y	$y_t$

## ۹- مراجع

- [1] A. H. Korayem, M. H. Korayem, M. Taheri, Robust controlled manipulation of nanoparticles using the AFM nanorobot probe, *Arabian Journal for Science and Engineering*, Vol. 40, No. 9, pp. 2685-2699, 2015.
- [2] R. Resch, A. Bugacov, C. Baur, B. Koel, A., MADhukarand P. Will, Manipulation of Nanoparticles Using Dynamic Force Microscopy: Simulation and Experiments, *Applied Physics A: Materials Science & Processing*, Vol. 67, No. 3, pp. 265-271, 1998.
- [3] R. Resch, C. Baur, A. Bugacov, B. E. Koel, A. Madhukar, A. A. G. Requicha, P. Will, Building and Manipulating Three-Dimensional and Linked Two-Dimensional Structures of Nanoparticles Using Scanning Force Microscopy, *Langmuir* Vol. 14, No. 23, pp. 6613-6616, 1998.
- [4] M. R. Falvo, R. Superfine, Mechanics and Friction at the Nanometer Scale, *Journal of Nanoparticle Research*, Vol. 2, No. 3, pp. 237-248, 2000.
- [5] A. Tafazzoli, M. Sitti, Dynamic Behavior and Simulation of Nanoparticles Sliding During Nanoprobe-Based Positioning, *Proc. of IMECE'04 2004 American Society of Mechanical Engineers International Mechanical Engineering Congress*, pp. 965-972, 2004.
- [6] Q. Zhou, P. Kallio, F. Aria, T. Fukudaand H. N. Koivoc, A Model for Operating Spherical Micro Objects, *Proceeding of International Symposium on Micromechatronics and Human Science*, Nagoya, Japan, pp. 79-85, 1999.
- [7] K. E. Rifai, O. E. Rifaiand K. Youcef-Toumi, Modeling and Control of AFM Based Nano-Manipulation Systems, *Proceedings of 2005 IEEE International Conference on Robotics and Automation, Barcelona, Spain*, pp. 157-162, 2005.
- [8] M. H. Korayem, S. D. Ghahnaviyeh, M. ghasemi, M. taheri,Effect of different geometrical parameters of atomic force microscope cantilevers in critical force and time based on manipulation with

هنگام عملیات نانومنیپولیشن جلوگیری شود. همچنین در طول انجام عملیات کنترلی به مشاهده‌ی میزان انحراف تیرک در جهت  $\theta$  پرداخته شد تا با استفاده از این مشاهده مقدار خیز تیرک، در راستای موازی با جهت حرکت نانوذره نیز به دست آید. مناسب بودن تیرک جهت این عملیات نیز بررسی شد، چراکه اگر میزان خیز تیرک بیش از حد باشد، نانوذره از زیر آن در حین انجام عملیات نانومنیپولیشن عبور می‌کند و این امر باعث می‌شود تا دیگر نانوذره به نقطه‌ای از قبل تعیین شده نرسد.

مقایسه‌ی کمی نتایج نشان می‌دهد که در بحث نیز زمان لازم برای کنترل نانوذرات طلا در محیط‌های آب، الکل و پلاسما در زاویه ۰.۰۰۲ رادیان به ترتیب برابر است با ۰.۰۱۲۴۸ و ۰.۰۱۲۸۳، که این روند تغییرات با درصد تغییرات زمان شروع به حرکت برای نانوذرات طلا مطابقت دارد. این امر نشان می‌دهد که همان‌طور که تعویض محیط در عملیات منیپولیشن نانوذرات تأثیر می‌گذارد، در فرایند کنترلی نیز تأثیر می‌گذارد، که این میزان تأثیر در هر دو مورد یکسان بوده است و دلیل این میزان تغییرات، تغییر در مقدار کار نیروی چسبندگی است که کار نیروی چسبندگی برای نانوذرات طلا در محیط‌های آب، الکل و پلاسما به ترتیب برابر ۰.۰۹۵۳ و ۰.۲۳۰۹ و ۰.۱۳۹۶ نیوتون در متر می‌باشد. برای نانوذرات دیگر نیز به همین صورت می‌توان نتیجه گرفت. به عنوان مثال برای نانوذرات مخمر زمان موردنیاز در فرایند کنترلی برای رسیدن به ۰.۰۰۲ رادیان زاویه پروب در محیط‌های آب، الکل و پلاسما به ترتیب برابر ۰.۰۱۴۶۲ و ۰.۰۱۶۵۸ و ۰.۰۱۴۶۲ می‌باشد و نتیجه می‌شود که روند تغییرات و درصد تغییرات برای نانوذرات مختلف برای شروع به حرکت با میزان تغییر زمان کنترلی در پی تغییر محیط یکسان است. دلیل این میزان تغییرات، تغییر در مقدار کار نیروی چسبندگی است که کار نیروی چسبندگی برای نانوذرات مخمر در محیط‌های آب، الکل و پلاسما به ترتیب برابر ۰.۰۲۴۸ و ۰.۰۵۷۲ و ۰.۰۰۶۹ نیوتون در متر می‌باشد که توجیه مناسبی برای میزان تغییرات در دو بخش نیرو و زمان بحرانی و همچنین تأخیر در زمان کنترل می‌باشد.

## ۸- فهرست عالیم

نیروی چسبندگی نانوذره - سطح	$A_{ps}^{adh}$
سطح تماس نانوذره و صفحه مبنا	$A_s$
شعاع تماسی کروی	$a$
محیط سطح مقطع تیرک	$b$
مدول یانگ تیرک	$E$
مدول یانگ نمونه	$E_s$
نیروی اعمالی به نوک پروب در راستای y	$F_y$
نیروی اعمالی به نقطه انتهایی پروب در راستای y	$F_Y$
نیروی اعمالی به نقطه انتهایی پروب در راستای z	$F_z$
نیروی اعمالی به نوک پروب در راستای z	$F_Z$
نیروی وارد بر نانوذره در راستای عمود بر حرکت	$F_1$
نیروی اصطکاک نانوذره و صفحه مبنا	$f_{as}$
نیروی لغزش	$f_s$
مدول برشی تیرک	$G$
ارتفاع سوزن	$H$
ممان اینرسی تیرک حول نقطه ابتدایی	$I_c$
ممان اینرسی پروب حول نقطه ابتدایی	$I_p$
سختی طولی تیرک	$K_y$

- Englewood Cliffs, NJ: prentice-Hall, 1991.
- [15] M. H. Korayem, A. Khademi, S. R. Nekoo. A comparative study on SMC, OSMC and SDRE for robot control. In *Robotics and Mechatronics (ICRoM)*, 2014 Second RSI/ISM International Conference on Robotic, Oct 15, pp. 013-018, 2014.
- [16] M. T. Arjmand, H. Sadeghian, H. Salarieh, A. Alasty. Chaos control in AFM systems using nonlinear delayed feedback via sliding mode control, *Nonlinear Analysis: Hybrid Systems*, Vol. 2, No. 3, 993-1001, 2008.
- [17] A. H. Korayem, M. Taheri, M. H. Korayem, Dynamic modeling and simulation of nano particle motion in different environments using AFM nano -robot, *Modares Mechanical Engineering*, Vol. 15, No. 1, pp. 294-300, 2015. (in Persian)
- [18] H. Babahosseini, S. H. Mahboobi, A. Meghdari, "Dynamics modeling of nanoparticle in AFM-based manipulation using two nanoscale friction models", *American Society of Mechanical Engineers, International Mechanical Engineering Congress and Exposition*, Jan 1 ,pp. 1-10, 2009.
- [19] A. Tafazzoli, M. Sitti, Dynamic behavior and simulation of nanoparticle sliding during nanoprobe-based positioning, *American Society of Mechanical Engineers, Mechanical Engineering Congress*, Jan 1, pp. 965-972, 2004.
- [9] applying EFAST sensitivity analyses, *Modares Mechanical Engineering*, Vol. 15, No. 1, pp. 310-316, 2015. (in Persian)
- [10] M. H. Korayem, H. Khaksar, R. N. Hefz Abad, M. Taheri, Simulation of soft bacteria contact to be applied in nanomanipulation, *Modares Mechanical Engineering*, Vol. 14, No. 14, pp. 227-234, 2014. (in Persian)
- [11] I. Obataya, C. Nakamura, S. Han, N. Nakamura, J. Miyake, Nanoscale Operation of a Living Cell Using an Atomic Force Microscope with a Nanoneedle, *Journal of Nano Letter*, Vol. 5, No. 1, pp. 27–30, 2005.
- [12] M. H. Korayem, M. Taheri. Modeling of various contact theories for the manipulation of different biological micro/nanoparticles based on AFM *Journal of Nanoparticle Research*, Vol. 16, No. 1, pp. 1-18, 2014.
- [13] M. H. Korayem, M. Taheri, M. Zakeri. Sensitivity analysis of nanoparticles manipulation based on different friction models, *Applied Surface Science*, Vol. 258, No. 18, pp. 6713-6722, 2012.
- [14] A. H. Korayem, M. H. Korayem, M. taheri, Dynamic Modeling and simulation of nano particle motion in different environments using AFM nano-robot, *Modares Mechanical Engineering*, Vol. 15, No. 1, pp. 294-300, 2015. (in Persian)
- [14] J. E. Slotine, L. Weiping, *Applied nonlinear control*, pp. 298-348,